

УДК 537.311

© 1990

АНИЗОТРОПИЯ ВЕЛИЧИНЫ МАГНИТНОГО МОМЕНТА В АМОРФНЫХ СПЛАВАХ Tb—Co С НАВЕДЕНОЙ АНИЗОТРОПИЕЙ

*A. С. Андреенко, Р. Н. Дамянова, Т. И. Иванова,
С. А. Никитин, Е. В. Синицын*

Исследованы температурные и полевые зависимости крутящих моментов аморфного сплава $Tb_{21}Co_{79}$ с наведенной одноосной анизотропией в плоскости пленки. Измерения проводились на крутильном анизометре в магнитных полях до 15 кЭ в интервале температур 80—300 К. Экспериментально обнаружены «срывы» на кривых вращающих моментов, а в магнитных полях до 9 кЭ наблюдался также вращательный гистерезис. Интерпретация результатов дана на основе теории, учитывющей зависимость величины среднего магнитного момента образца от его ориентации относительно оси легкого намагничивания.

Исследования процессов намагничивания в редкоземельных аморфных сплавах Tb—Co с наведенной анизотропией показали [1], что величина среднего магнитного момента образца $\langle M \rangle$ зависит от его ориентации относительно оси анизотропии. Эта зависимость определяется различной величиной дисперсии ориентационных флуктуаций магнитных моментов D_m для различных положений $\langle M \rangle$ относительно оси анизотропии n . Было установлено, что при намагничивании аморфных сплавов вдоль оси трудного намагничивания (ОНН) на конечном участке кривой намагничивания вращение $\langle M \rangle$ замедляется вследствие того, что часть энергии внешнего магнитного поля расходуется на подавление ориентационных флуктуаций D_m . Особенности угловой зависимости среднего магнитного момента образца, обнаруженные при измерениях намагченности в работе [1], безусловно должны приводить к характерным аномалиям кривых вращающих моментов. В данной работе проведено исследование температурных и полевых зависимостей вращающих моментов в аморфных сплавах Tb—Co с наведенной магнитной анизотропией.

1. Условия изготовления и паспортные данные аморфных сплавов Tb—Co подробно описаны в работе [1].

Измерение вращающих моментов проводилось по методике, описанной в работе [2], в области температур 80—300 К в магнитных полях до 15 кЭ. Первоначальное положение оси легкого намагничивания (ОНН) образца, т. е. направление ОНН до проведения измерений, определялось по максимуму остаточной намагченности на вибрационном магнитометре.

2. На рис. 1 представлены кривые вращающих моментов в аморфном сплаве $Tb_{21}Co_{79}$ (99 К). Измерения проводились в разных магнитных полях, ориентированных вдоль плоскости образца. Наблюдается 180° симметрия кривых вращающих моментов, что и следовало ожидать в аморфном сплаве с одноосной магнитной анизотропией.

На кривых $L(\theta)$ видны характерные «срывы» вращающих моментов, происходящие вблизи углов $\theta = \theta_{cr}$, причем эти срывы наблюдаются как при измерениях кривых вращающих моментов, начиная с малых углов,

так и при обратном прохождении, т. е. начиная с больших углов. Наблюдается также гистерезис $L(\theta)$ в магнитном поле $H \leq 9$ кЭ.

На рис. 2 приведены полевые зависимости $L(\theta)$ для сплава $Tb_{21}Co_{79}$, снятые при различных температурах. На начальных участках кривых наблюдается линейная зависимость $L_{\max}(\theta)$ от поля при всех температурах. Однако при дальнейшем увеличении поля происходит замедление роста величины $L_{\max}(\theta)$.

3. Как показано в [1], особенности кривых намагничивания аморфных

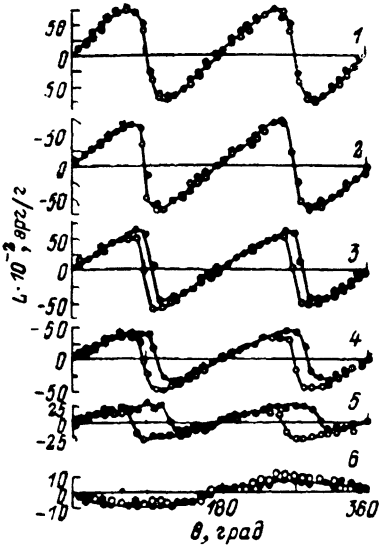


Рис. 1. Угловые зависимости крутящего момента при 99 К.

H , Э: 1 — 15, 2 — 12, 3 — 9, 4 — 6,
5 — 3, 6 — 1.

сплавов с наведенной анизотропией можно объяснить уменьшением величины среднего магнитного момента образца при его ориентации вдоль

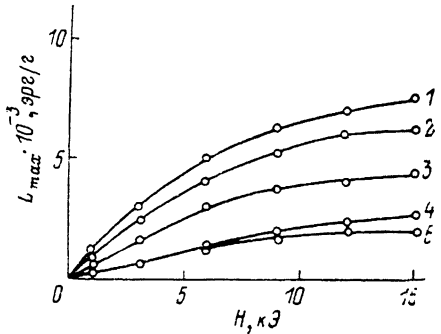


Рис. 2. Полевые зависимости максимального значения крутящего момента.

T , К: 1 — 83, 2 — 129, 3 — 191, 4 — 300, 5 — 267.

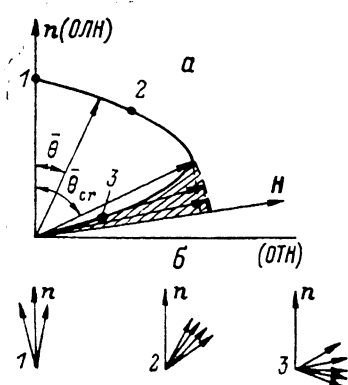


Рис. 3. Зависимость величины среднего магнитного момента от его ориентации (схематически). $M(\bar{\theta}) = \langle M \rangle$.
α — область углов $\theta > \theta_{cr}$ является запрещенной, ОЛН и ОТН определяются наведенной анизотропией; β — изображение дисперсии ориентационных флуктуаций $M(\theta)$ при различных ориентациях ($1-3$) $\langle M \rangle$.

ОТН. На рис. 3 схематически изображено, как зависит величина среднего магнитного момента от его ориентации по отношению к осям анизотропии. Из этого рисунка видно, что существуют области «запрещенной» ориентации $\langle M \rangle$. Так, для $\langle M \rangle$ при заданном поле H не выгодно отклониться от

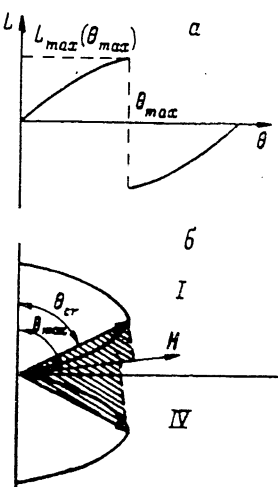


Рис. 4. К возникновению аномалий на кривых $L(\theta)$.

α — схематический вид $L(\theta)$; β — переброс $\langle M \rangle$ из квадранта I в IV вследствие возникновения области запрещенных ориентаций (заштриховано).

оси \mathbf{n} на угол, больший θ_{cr} , так как это сопровождалось бы увеличением энергии Зеемана. Процесс намагничивания после отклонения $\langle \mathbf{M} \rangle$ от \mathbf{n} на угол θ_{cr} происходит за счет подавления дисперсии ориентационных флуктуаций D_m , что приводит к уменьшению области запрещенных ориентаций $\langle \mathbf{M} \rangle$ (рис. 3, а). Из рис. 3, а видно, что в достаточно широком интервале полей углы θ_{cr} слабо зависят от величины $\langle \mathbf{M} \rangle$ и имеют тенденцию к увеличению с ростом магнитного поля H , что обусловлено падением величины флуктуаций D_m и соответственно уменьшением «провала» на зависимости $\mathbf{M}(\theta)$.

При таких особенностях процессов намагничивания можно ожидать, что зависимости врачающих моментов при наличии области запрещенных ориентаций имеют вид (рис. 4, а). При сопоставлении экспериментальных кривых (рис. 1) и схемы (рис. 4, а) наблюдается хорошее качественное согласие.

Гистерезис врачающих моментов в малых полях (рис. 1) скорее всего обусловлен образованием доменов при переориентации $\langle \mathbf{M} \rangle$ из квадранта I в квадрант IV (рис. 4, б). Максимальная величина $L_{max}(\theta)$, достигаемая перед срывом (рис. 4), имеет вид

$$L_{max}(\theta) = M(\theta_{cr}) H \sin(\theta_{cr} - \theta).$$

Поскольку θ_{cr} и $\mathbf{M}(\theta_{cr})$ в области достаточно слабых магнитных полей весьма слабо зависят от величины внешнего магнитного поля H , то $L_{max}(\theta)$ должно зависеть от H практически линейно, что и наблюдалось в эксперименте (рис. 2). В больших же магнитных полях линейная зависимость нарушалась, что связано с уменьшением $D_m(\theta_{cr})$, вследствие чего начинали зависеть от H параметры $\mathbf{M}(\theta_{cr})$ и θ_{cr} .

Таким образом, измерения врачающих моментов в аморфном сплаве $Tb_{21}Co_{79}$ с наведенной анизотропией хорошо описываются в рамках теории, предложенной в работе [1].

Список литературы

- [1] Андреенко А. С., Дамянова Р. Н., Золотухин И. В., Никитин С. А., Синицын Е. В., Соловьев А. С. // ФТТ. 1988. Т. 30. № 10. С. 1854—1862.
- [2] Tajima K., Chikazumi S. // Jap. J. Appl. Phys. 1967. V. 6. N 7. P. 897.

Московский государственный университет
им. М. В. Ломоносова
Москва

Поступило в Редакцию
5 сентября 1989 г.